

التوصية 1 S.731-ITU-R

**مخطط مرجعي للإشعاع المتقطع الاستقطاب لمحطة أرضية
لاستخدامه في تنسيق الترددات وفي تقدير التداخلات
في نطاق الترددات من 2 إلى 30 GHz تقريرًا**

(2005-1992)

إن جمعية الاتصالات الراديوية للاتحاد الدولي للاتصالات،

إذ تتضع في اعتبارها

أ) أن استعمال مخطط لإشعاع المتقطع الاستقطاب لهوائي المحطة الأرضية قد يكون مفيداً من أجل دراسات التنسيق، ومن أجل تقدير التداخلات المتبادلة فيما بين الأنظمة الساتلية للاتصالات الراديوية وبين المحطات الأرضية لهذه الأنظمة ومحطات الخدمات الأخرى التي تتقاسم نفس النطاق؛

ب) أن استعمال مخطط لإشعاع المتقطع الاستقطاب مبني على المستوى الذي تم تجاوزه بنسبة مئوية صغيرة من ذروات الفصوص الجانبية قد يكون مناسباً لتحديد مسافة التنسيق ولتقدير التداخلات بين المحطات الأرضية ومحطات الأرض؛

ج) أن التوصية ITU-R S.465 تتضمن مخططاً مرجعياً لإشعاع المتقطع الاستقطاب للمحطة الأرضية لاستخدامه في تنسيق الترددات وفي تقدير التداخلات؛

د) أنه قد أجريت قياسات لأداء الكسب المتقطع الاستقطاب الخارج عن المحور للمحطات الأرضية ووضعت أنماط إشعاع متباينة من الناحية الكمية؛

ه) أنه من الممكن استخدام مخطط مرجعي واحد لإشعاع المتقطع الاستقطاب الخارج عن المحور يتضمن المحطات الواردة في الملحق 1؛

و) أن استعمال الهوائيات التي لها أفضل محططات إشعاع يمكن تحقيقها قد يؤدي إلى استخدام طيف الترددات الراديوية ومدار السواتل المستقرة بالنسبة إلى الأرض على أكفا وجه،

وإذ تدرك

1 أنه من المستحب الحصول على معلومات أخرى تتعلق بقياس أداء الإشعاع المتقطع الاستقطاب؛

2 أن أداء الكسب المقيس الخارج عن المحور لهوائيات المحطات الأرضية يتضمن الإرسال المتقطع الاستقطاب من الهوائي المصدر؛

3 أن محططات الإشعاع المتقطع الاستقطاب تفاص في الحزمة الرئيسية للهوائي المصدر،

توصي

1 باستعمال مخطط إشعاع مرجعي وحيد في حالة عدم وجود معلومات دقيقة عن نمط الإشعاع المتقطع الاستقطاب لهوائي المحطة الأرضية المعنية من أجل ما يلي:

1.1 إجراء دراسات عن تنسيق الترددات وتقدير التداخلات بين المحطات الأرضية في الخدمات الثابتة الساتلية ومحطات الخدمات الأخرى التي تتقاسم نفس النطاق التردد؛

2.1 إجراء دراسات التنسيق وتقدير التداخلات بين شبكات الخدمة الثابتة الساتلية؛

2 استعمال المخطط التالي للإشعاع المتقطع الاستقطاب، بصفة مؤقتة، وبالنسبة إلى الزوايا التي تقع بين الاتجاهات المعنية ومحور الحزمة الرئيسية في نطاق الترددات من 2 إلى 30 GHz:

$G_x(\varphi) = 23 - 20 \log \varphi$	dBi	$\varphi_r \leq \varphi \leq 7^\circ$
$G_x(\varphi) = 20,2 - 16,7 \log \varphi$	dBi	$7^\circ < \varphi \leq 26,3^\circ$
$G_x(\varphi) = 32 - 25 \log \varphi$	dBi	$26,3^\circ < \varphi \leq 48^\circ$
$G_x(\varphi) = -10$	dBi	$48^\circ < \varphi \leq 180^\circ$

و، φ_r يساوي 1° أو $100 \lambda/D$ أيهما أكبر.

3 اعتبار الملاحظات التالية جزءاً من هذه التوصية.

الملاحظة 1 - افتراض أن المخطط المرجعي للإشعاع المتقطع الاستقطاب متماثل دورانياً.

الملاحظة 2 - ينبغي استعمال المخطط المرجعي للإشعاع المتقطع الاستقطاب في حالات الاستقطابات المقابلة.

الملاحظة 3 - يمكن استعمال مخططات الإشعاع المتقطع الاستقطاب للمحطات الأرضية بالاتفاق بين الإدارات المعنية.

الملاحظة 4 - ينبغي استعمال مخطط الإشعاع المرجعي بحذر في نطاق الزوايا الذي قد يحدث فيه نظام التغذية الخاص المشغل مستويات عالية نسبياً من القرض، وللهوائيات التي تقل فيها قيمة النسبة D/λ عن 50.

الملاحظة 5 - يكمل هذا المخطط للإشعاع المتقطع الاستقطاب مخطط الإشعاع المتعدد الاستقطاب الوارد في التوصية ITU-R S.465.

الملاحظة 6 - يتضمن الملحق 1 عدة مخططات للإشعاع المتقطع الاستقطاب الخارج عن المحور تتعلق بأغلفة ذروات خصائص الكسب المقيدة لهوائيات مختلفة دعماً للفقرة 2 من توصي.

الملحق 1

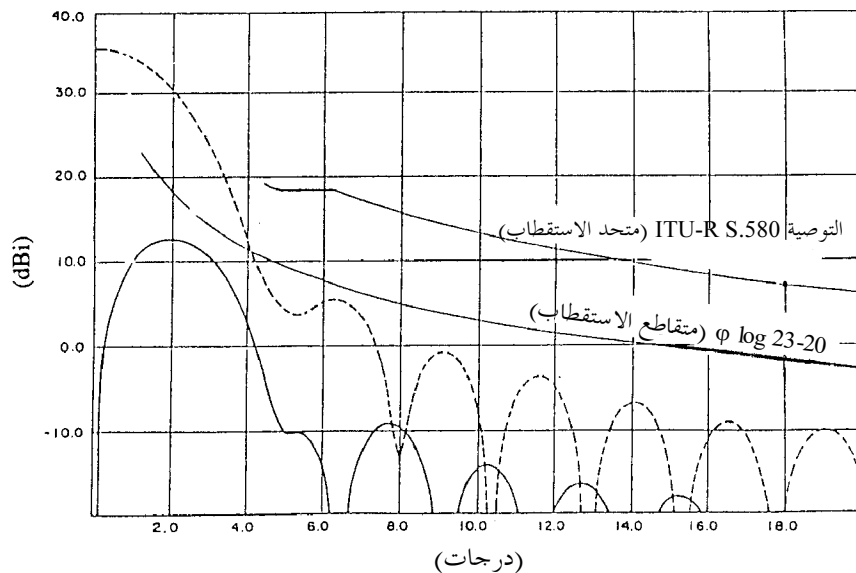
نمذجة خصائص الإشعاع المتقطع الاستقطاب هوائي المخطة الأرضية

يقدم هذا الملحق معلومات أساسية تستعمل لوضع مخططات للإشعاع المتقطع الاستقطاب مستمدة من مخططات نظرية ومقيسة. وقد أخذت القياسات الواردة في المخططات لأقطار هوائيات مختلفة (1,2 m و 1,8 m و 2,4 m و 3,5 m عند النطاق GHz 12,625 و 3,7 GHz عند النطاق 10,7 GHz). وُقدم لكل قطر هوائي وصف لمخططات الأغلفة والمخططات المقيدة ذات الصلة. ثم اشتقت المعادلات التي تصف أغلفة الإشعاع المتقطع الاستقطاب هوائيات تبلغ فيها النسبة $D/\lambda \leq 100$ و $D/\lambda > 100$. ووضعت دالة واحدة يمكن أن تستعمل لوصف مخطط المتقطع الاستقطاب الخارج عن المحور لجميع الهوائيات.

ويبين الشكلان 1 و 2 مخططات للإشعاع المتعدد الاستقطاب والمتقطع الاستقطاب محسوبة هوائيات بتغذية وحيدة متداخلة ودوال الأغلفة ذات الصلة. أما الشكل 3 فيبين آثار وسائل التغذية في حالة ترتيبات متماثلة المحور.

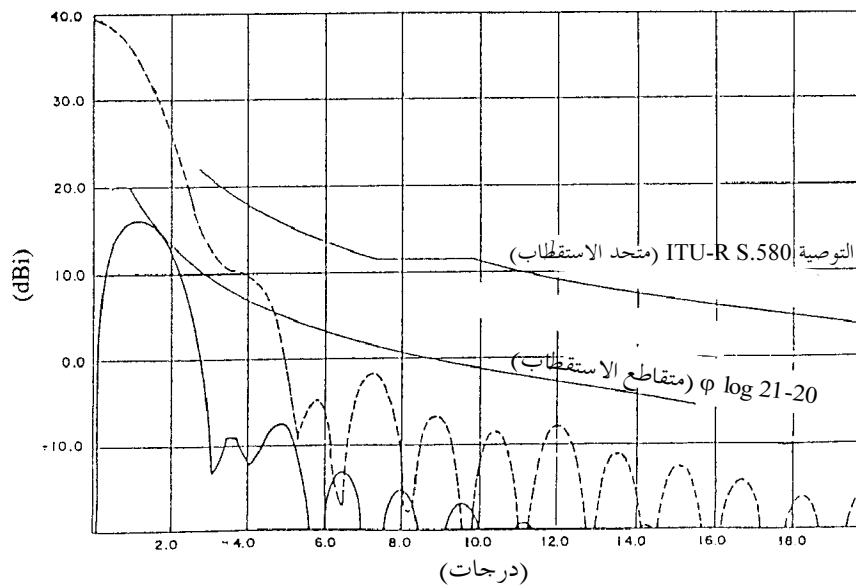
الشكل 1

**مخطط الإشعاع المتحد الاستقطاب والمنقاطع الاستقطاب هوائي مفرد قطره $m 1,8$
بأضاءة متداخلة محسوب عند النطاق $3,95 \text{ GHz}$ - مستوى السمت**



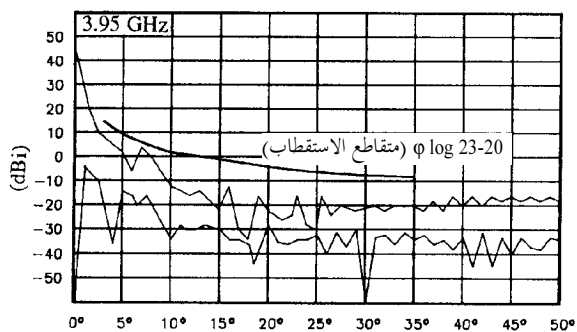
الشكل 2

**مخطط الإشعاع المتحد الاستقطاب والمنقاطع الاستقطاب هوائي مفرد قطره $m 1,8$
بأضاءة متداخلة محسوب عند النطاق $6,175 \text{ GHz}$ - مستوى السمت**

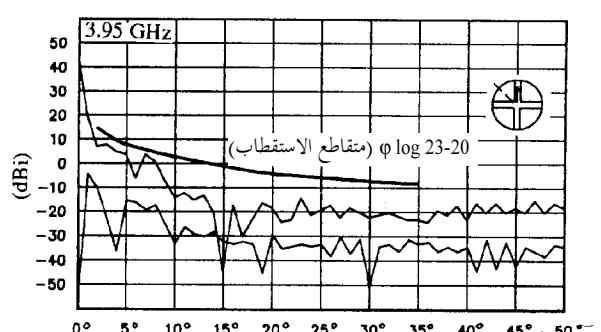


الشكل 3

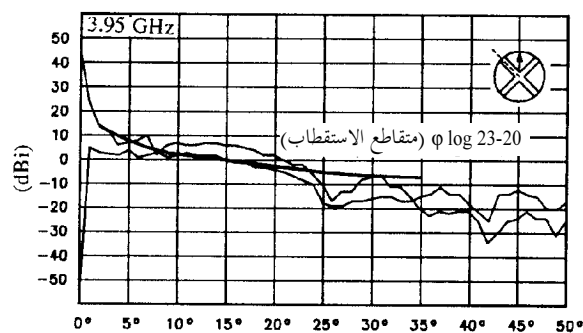
**التحليل النظري لآثار الدعامة في هوائي قطره 6 أمتار
مستقطب خطياً متماثل المحور وذي عاكس مزدوج
عند النطاق GHz 6,175 (ج) و 3,95 GHz (أ-ه)**



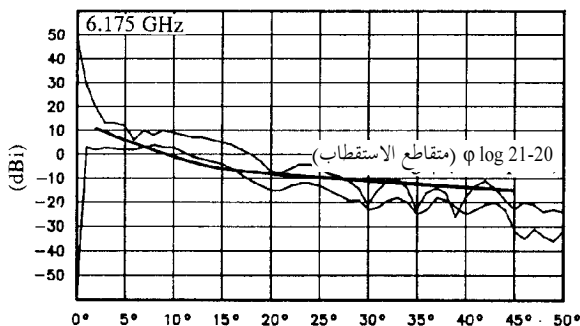
أ) مخطط الإشعاع المتعدد الاستقطاب والمقطوع الاستقطاب في مستوى 45° بدون دعامات



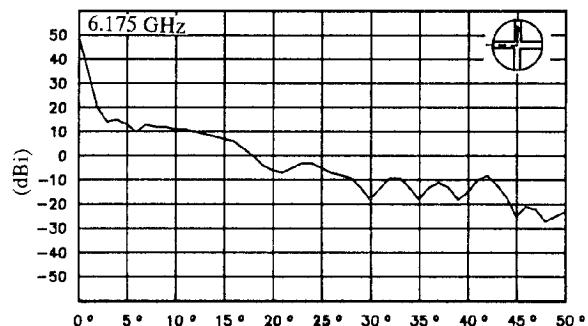
ب) مماثل للمبين في أ) مع دعامتين في المستويين الرأسى والأفقي



ج) مماثل للمبين في أ) مع دعامتين في المستويين 45° و 135°



د) مماثل للمبين في ج) على نطاق الإرسال



ه) مخطط الإشعاع المتعدد الاستقطاب والمقطوع الاستقطاب في المستوى الأفقي مع دعامتين في المستويين الرأسى والأفقي - نطاق الإرسال

تم الحصول على الغلافين المتعدد الاستقطاب ($G_{//}(\varphi)$) والمتقطع الاستقطاب ($G_{+}(\varphi)$) ذوي الصلة من أجل تقدير أسوأ حالة لتميز الاستقطاب (عامل عزل الاستقطاب).

أ) افترض الغلاف المتعدد الاستقطاب المستخدم في هذا الملحق على النحو التالي:

للانظمة ذات النسبة $D/\lambda \leq 100$:

$$\begin{aligned} G_{//}(\varphi) &= 52 - 10 \log(D/\lambda) - 25 \log \varphi - G_0 & \text{dBi} & \text{من أجل } 100 \lambda/D^\circ \leq \varphi \leq 48^\circ \\ &= 10 - 10 \log(D/\lambda) - G_0 & \text{dBi} & \text{من أجل } 48^\circ < \varphi \leq 180^\circ \end{aligned}$$

للانظمة ذات النسبة $D/\lambda > 100$:

$$\begin{aligned} G_{//}(\varphi) &= 32 - 25 \log \varphi - G_0 & \text{dBi} & \text{من أجل } 1^\circ \leq \varphi \leq 48^\circ \\ &= 10 - G_0 & \text{dBi} & \text{من أجل } 48^\circ < \varphi \leq 180^\circ \end{aligned}$$

ب) يجعل مستوى الاستقطاب المتقطع $G_{+}(\varphi) = G_{//}(\varphi')$ للهوائيات الصغيرة، و $\varphi_1 = 1,8^\circ$ للهوائيات الكبيرة من أجل $\varphi_1 < \varphi < 0^\circ$.

وأخيراً، قد يكون لأنماط الاستقطاب المتقطع ذات الصلة الأغلفة التالية:

1 الهوائيات الصغيرة ($D < 100\lambda$)

G_0 = الكسب الأقصى المتعدد الاستقطاب للهواي (dBi)

$$(dBi) G_0 - \log \varphi - \log(D/\lambda) 10 - 52 = G(\varphi)$$

$$100 \lambda/D = \varphi_1 \quad (\text{درجات})$$

$$\varphi_1 2,2 = \varphi'_1 \quad (\text{درجات})$$

$$25,1^\circ = \varphi_2$$

$$\frac{52 - 10 \log(D/\lambda)}{25} 10 = \varphi_{ISO} \quad (\text{درجات})$$

من أجل $: 0 < \varphi < \varphi_1$

$$(1) \quad G_{+}(\varphi) = G(\varphi'_1)$$

من أجل $\varphi_1 < \varphi < \varphi_2$

$$(2) \quad G_{+}(\varphi) = G(\varphi) - (G(\varphi_1) - G(\varphi'_1)) \frac{\varphi_{ISO} - \varphi}{\varphi_{ISO} - \varphi_1}$$

من أجل $\varphi > \varphi_{ISO}$

$$(3) \quad G_{+}(\varphi) = 52 - 10 \log(D/\lambda) - 25 \log \varphi - G_0$$

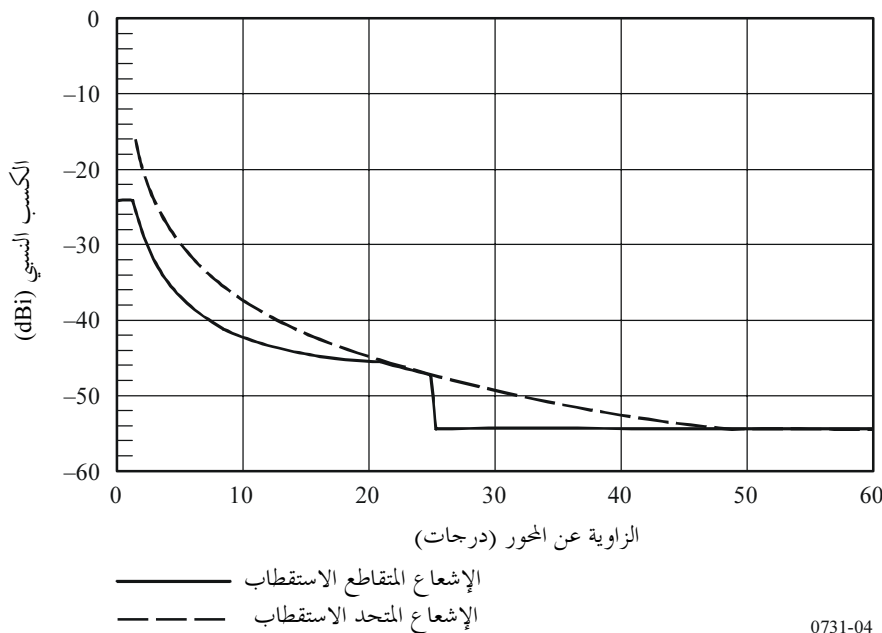
من أجل $\varphi_2 < \varphi < 180^\circ$

$$(4) \quad G_{+}(\varphi) = 10 - 10 \log(D/\lambda) - G_0$$

المخططان المبينان في الشكلين 4 و 6 من أجل محطتين لهما هوائيان قطر أحدهما 1,2 m والأخر 1,8 m يعملان على تردد مركزي هو 12,625 GHz. والمخططان المقيسان لهذا النوعين من الهوائيات مبينان في الأشكال 5 و 7 و 8. ويعطى في كل حالة مثال للمخططيين المقيسين للإشعاع المتعدد الاستقطاب والمتقطع الاستقطاب لكن الغلافين المبينين يمثلان متوسطات لقياسات على عدة هوائيات من نوع واحد.

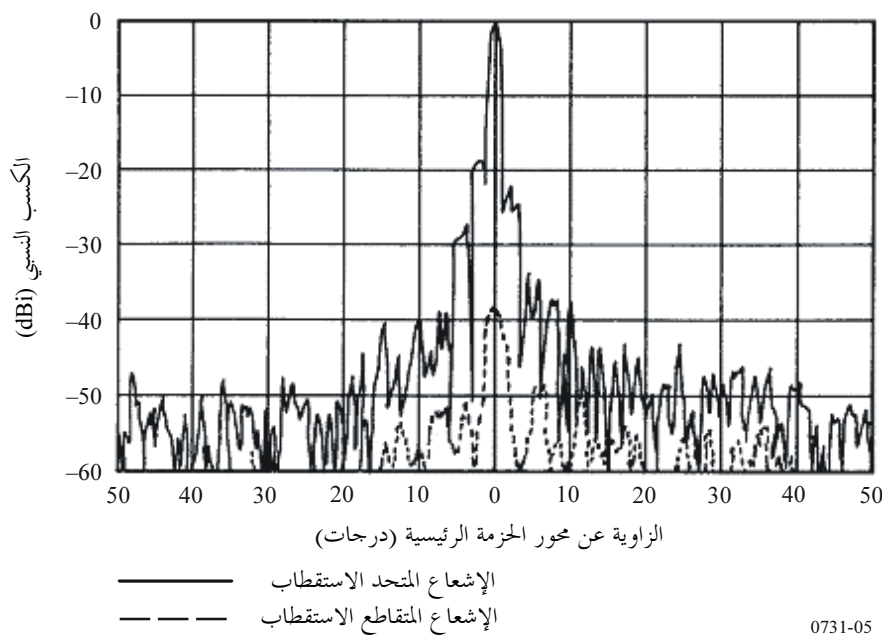
الشكل 4

هوائي قطره 1,2 m، التردد = GHz 12,625، المخططان المقيسان ذوا الصلة للإشعاع
المتحد الاستقطاب والمتقاطع الاستقطاب



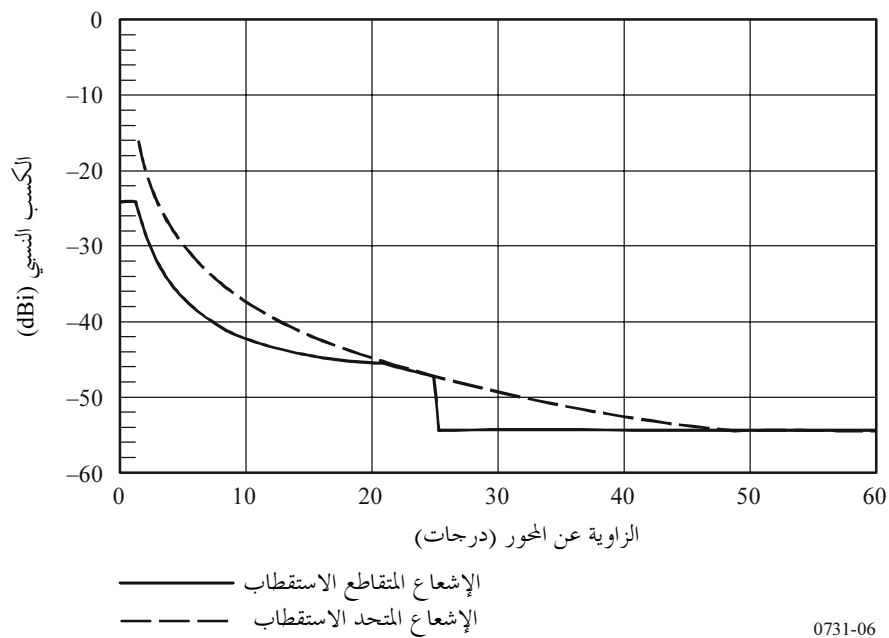
الشكل 5

هوائي قطره 1,2 m، التردد = GHz 12,625، المخططان المقيسان ذوا الصلة للإشعاع
المتحد الاستقطاب والمتقاطع الاستقطاب



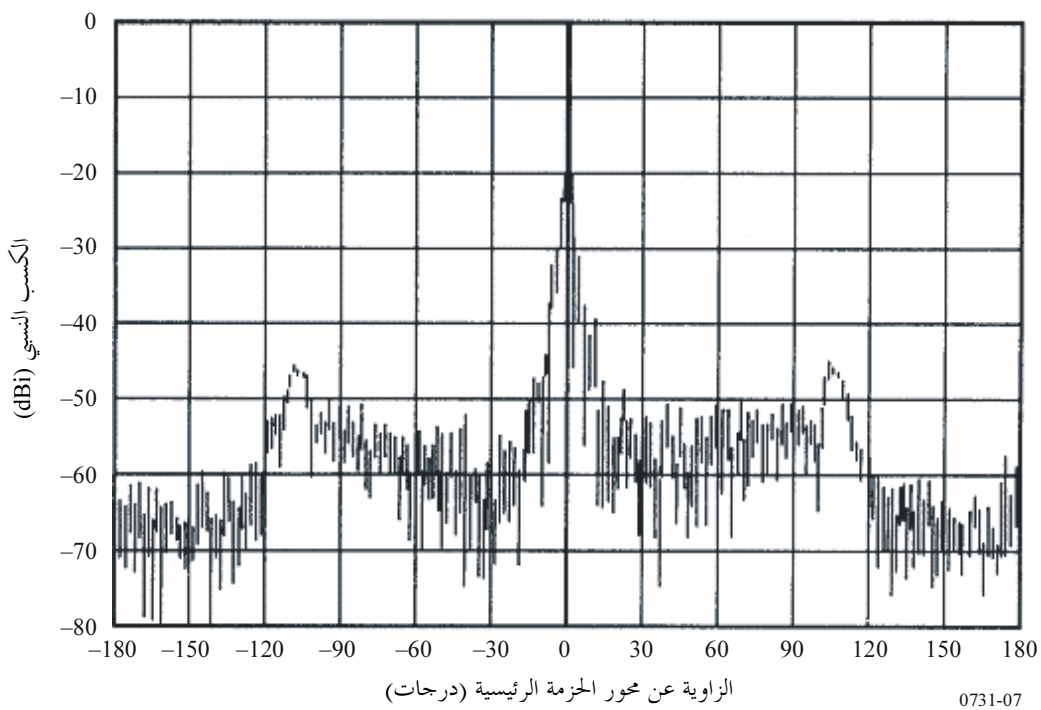
الشكل 6

هوائي قطره 1,8 m، التردد = GHz 12,625، المخططان المقيسان ذوا الصلة للإشعاع
المتحد الاستقطاب والمتقطع الاستقطاب



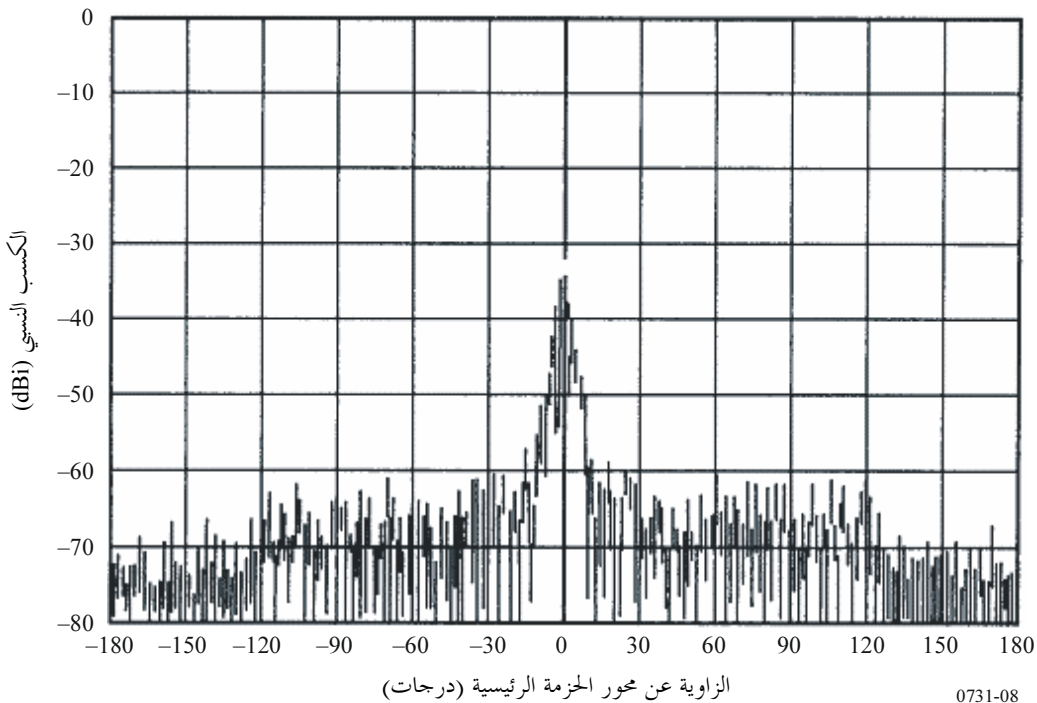
الشكل 7

هوائي قطره 1,8 m، التردد = GHz 12,625، المخططان المقيسان ذوا الصلة للإشعاع
المتحد الاستقطاب والمتقطع الاستقطاب



الشكل 8

هوائي قطره 1,8 m، التردد = GHz 12,625، المخطط المقيس ذو الصلة للإشعاع
المقاطع الاستقطاب



الهوائيات الكبيرة ($D \geq 100\lambda$)

2

G_0 = الكسب الأقصى المتعدد الاستقطاب (dBi) للهوائي

$$G(\varphi) = 29 - 25 \log \varphi - G_0 \text{ (dB)}$$

$$\varphi_1 = 1^\circ$$

$$\varphi'_1 = 1,8 \varphi_1 \text{ (درجات)}$$

$$\varphi_2 = 20^\circ$$

$$\varphi_3 = 33,1^\circ$$

$$\varphi_{ISO} = 10^{\frac{29}{25}} \cong 14,45^\circ$$

من أجل $: 0 < \varphi \leq \varphi_1$

(5)

$$G_+(\varphi) = G(\varphi'_1)$$

من أجل $: \varphi_1 < \varphi \leq \varphi_2$

(6)

$$G_+(\varphi) = G(\varphi) - (G(\varphi_1) - G(\varphi'_1)) \frac{\varphi_{ISO} - \varphi}{\varphi_{ISO} - \varphi_1}$$

من أجل $: \varphi_2 < \varphi \leq \varphi_3$

(7)

$$G_+(\varphi) = 32 - 25 \log \varphi - G_0$$

من أجل $: \varphi_3 < \varphi \leq 180^\circ$

(8)

$$G_+(\varphi) = -10 - G_0$$

المخططات المبينة في الأشكال الواردة أدناه محسوبة لمخططات ذات هوائيات تبلغ أقطارها $m 2,4$ و $m 3,5$ على التردد $GHz 12,625$ و $m 3,7$ على التردد $GHz 10,7$. وتبين الأشكال 10 و 11 و 13 و 14 و 16 و 17 المخططات المقيدة لهذه الأنواع من الهوائيات. ويبيّن في كل حالة مثال لقياسات الإشعاع متعدد الاستقطاب ومتقطع الاستقطاب لكن الأغلفة المدرجة مستمدّة من القيم المتوسطة لعدة هوائيات من نوع واحد.

ويمكن التعبير عن الدوال المدرجة أعلاه لـ $D \geq 100\lambda$ وبالنسبة إلى الكسب المطلق. ويمكن تقدير الدوال المقدمة من أجل $D \geq 100\lambda$ في دالة متعددة الاستقطاب $(52 - 10 \log \varphi) / (32 - 25 \log \varphi)$ بافتراض $\varphi = 32$. ويرد فيما يلي تقدير هذه الدوال باعتبارها كسباً مطلقاً لقيم مختلفة لـ D/λ :

$$(9) \quad D/\lambda = 25 \quad \text{من أجل} \quad G_x(\varphi) = 22,70 + 0,29 \varphi - 25 \log \varphi \quad \text{dBi}$$

$$(10) \quad D/\lambda = 50 \quad \text{من أجل} \quad = 22,69 + 0,37 \varphi - 25 \log \varphi \quad \text{dBi}$$

$$(11) \quad D/\lambda = 75 \quad \text{من أجل} \quad = 22,87 + 0,42 \varphi - 25 \log \varphi \quad \text{dBi}$$

$$(12) \quad D/\lambda = 100 \quad \text{من أجل} \quad = 22,15 + 0,47 \varphi - 25 \log \varphi \quad \text{dBi}$$

وترد فيما يلي الزوايا التي تساوي عندها دوال الكسب هذه كسب غلاف الإشعاع المتعدد الاستقطاب البالغ $(32 - 25 \log \varphi)$ على التوالي. أما الدوال الإضافية التي حددت فهي كما يلي:

$$(13) \quad G_x(\varphi) = 20 - 21 \log \varphi \quad \text{dBi}$$

$$(14) \quad G_x(\varphi) = 23,6 - 20 \log \varphi \quad \text{dBi}$$

$$(15) \quad G_x(\varphi) = 22 - 25 \log \varphi \quad \text{dBi}$$

والمعادلة (15) مبنية على فرضية أن الكسب المتقطع الاستقطاب أقل من الكسب المتعدد الاستقطاب بمقدار 10 dB بالنسبة إلى زاوية لا تتجاوز 7° .

وهذه الدوال مبينة في الشكل 18. ووفقاً لهذا الشكل فإن الدالة الوحيدة التي تغطي بشكل مناسب كل الدوال المبينة أعلاه هي التالية:

$$\varphi_r \leq \varphi < 7^\circ \quad \text{من أجل} \quad G_\lambda(\varphi) = 23 - 20 \log \varphi \quad \text{dBi}$$

$$7^\circ < \varphi \leq 26,3^\circ \quad \text{من أجل} \quad = 20,2 - 16,7 \log \varphi \quad \text{dBi}$$

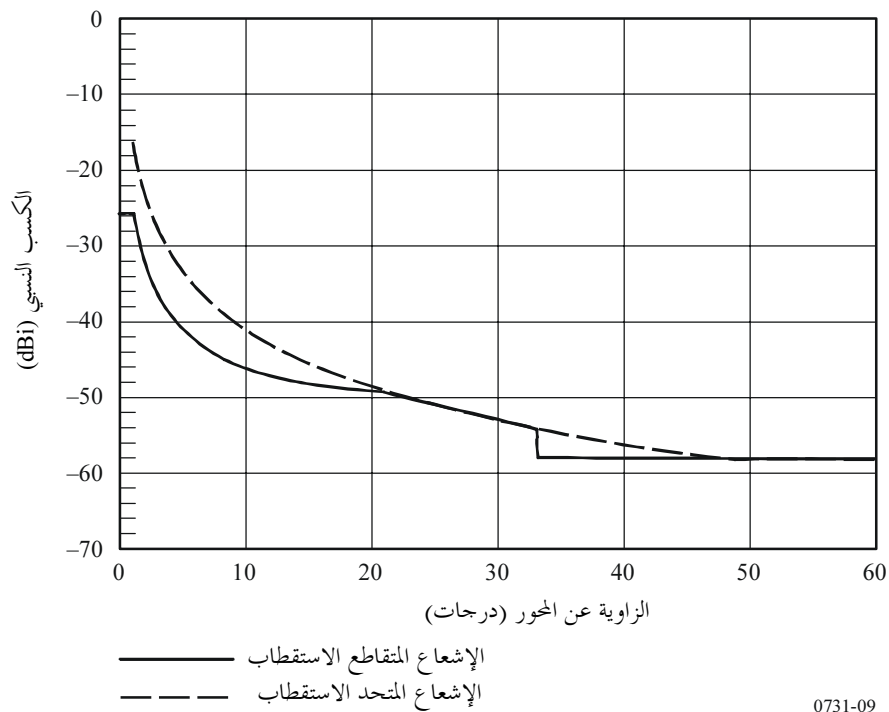
$$26,3^\circ < \varphi \leq 48^\circ \quad \text{من أجل} \quad = 32 - 25 \log \varphi \quad \text{dBi}$$

$$48^\circ < \varphi \leq 180^\circ \quad \text{من أجل} \quad = -10 \quad \text{dBi}$$

وتساوي $\varphi_r = 1^\circ$ أو $D \geq 100\lambda$ أيهما أكبر.

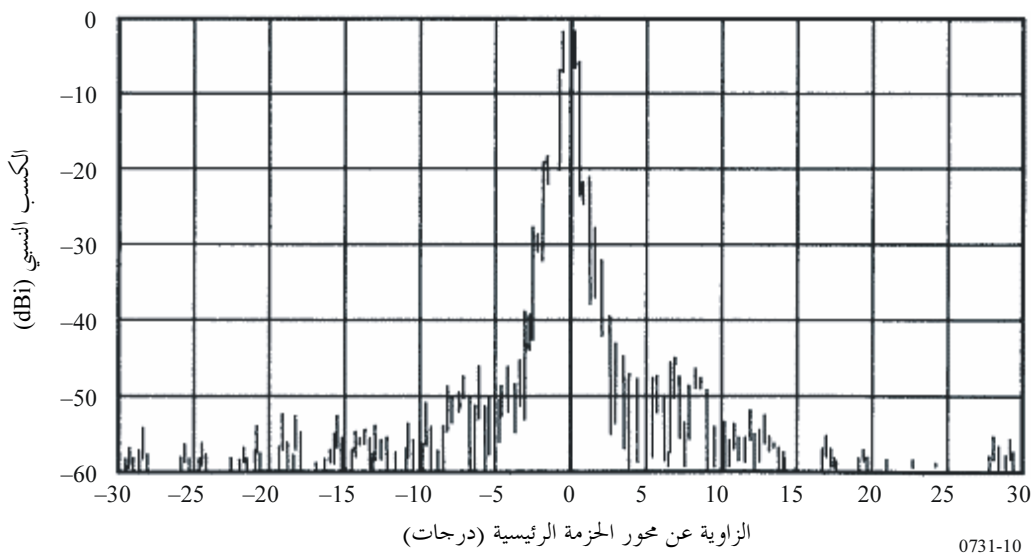
الشكل 9

هوائي قطره 2,4 m، التردد = GHz 12,625، المخططان المقيسان ذو الصلة للإشعاع المتعدد الاستقطاب والمتقطع الاستقطاب



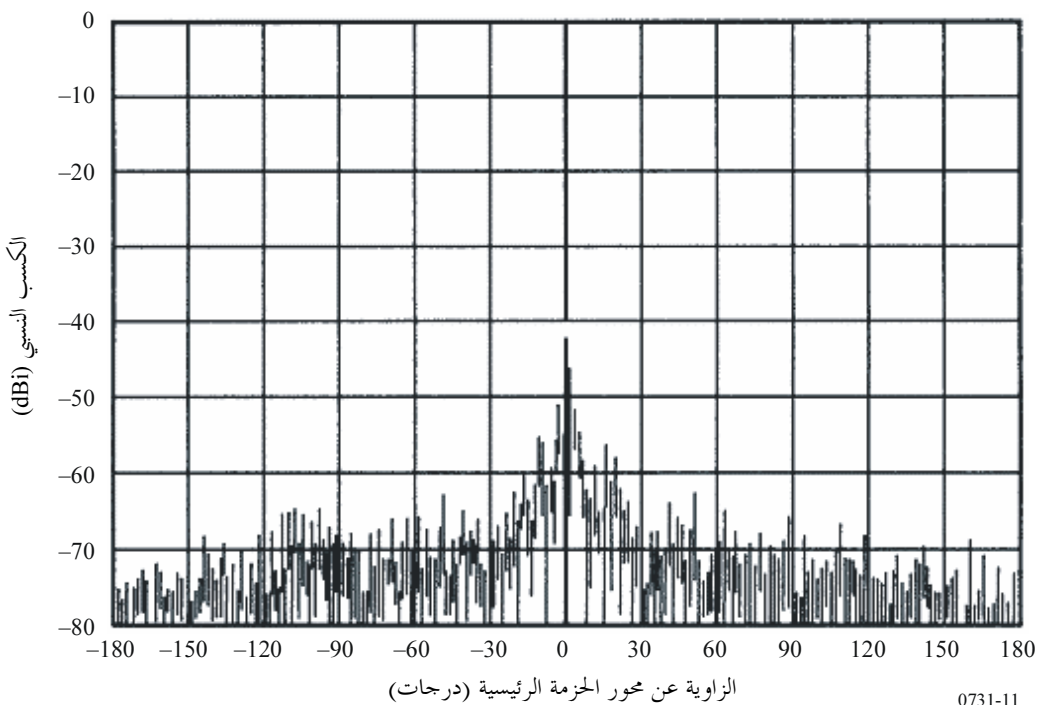
الشكل 10

هوائي قطره 2,4 m، التردد = GHz 12,625، المخطط المقيس ذو الصلة للإشعاع المتعدد الاستقطاب



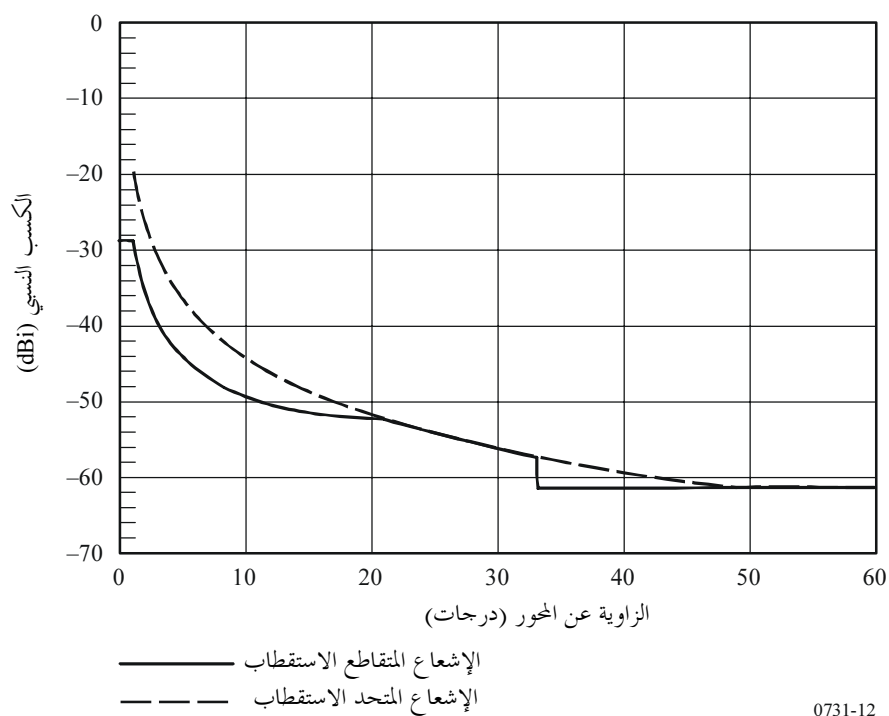
الشكل 11

هوائي قطره 2,4 m، التردد = GHz 12,625، المخطط المقيس ذو الصلة للإشعاع المقاطع الاستقطاب



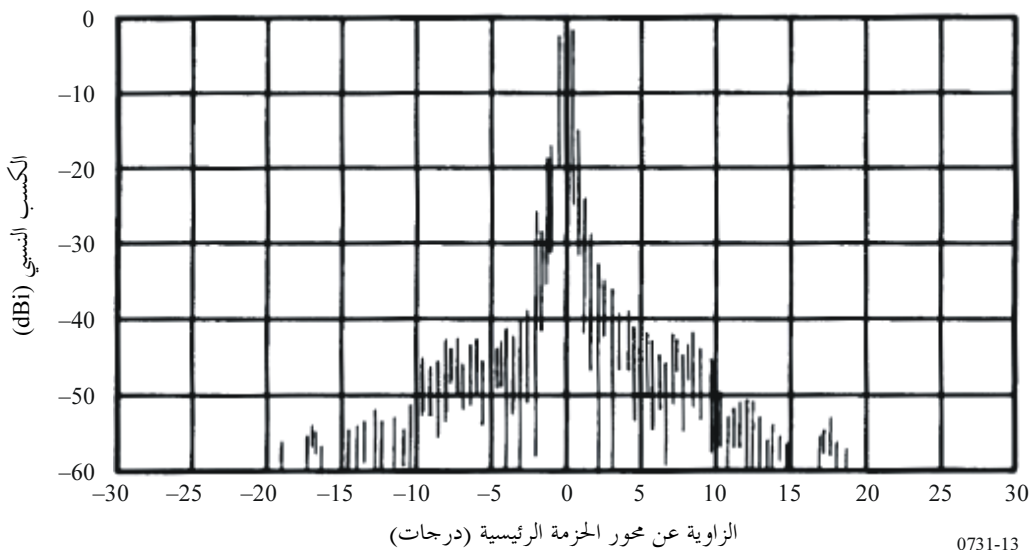
الشكل 12

هوائي قطره 3,5 m، التردد = GHz 12,625، المخططان المقىسان ذوا الصلة للإشعاع المتعدد الاستقطاب والمقاطع الاستقطاب



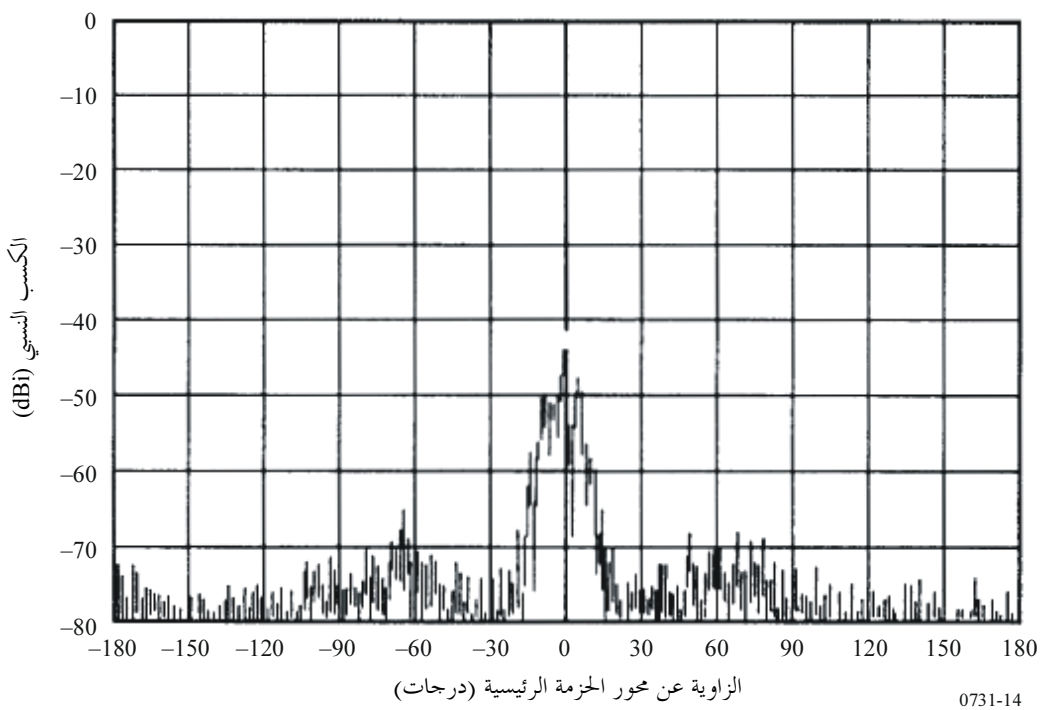
الشكل 13

هوائي قطره 3,5 m، التردد = GHz 12,625، المخطط المقيس ذو الصلة للإشعاع المتعدد الاستقطاب



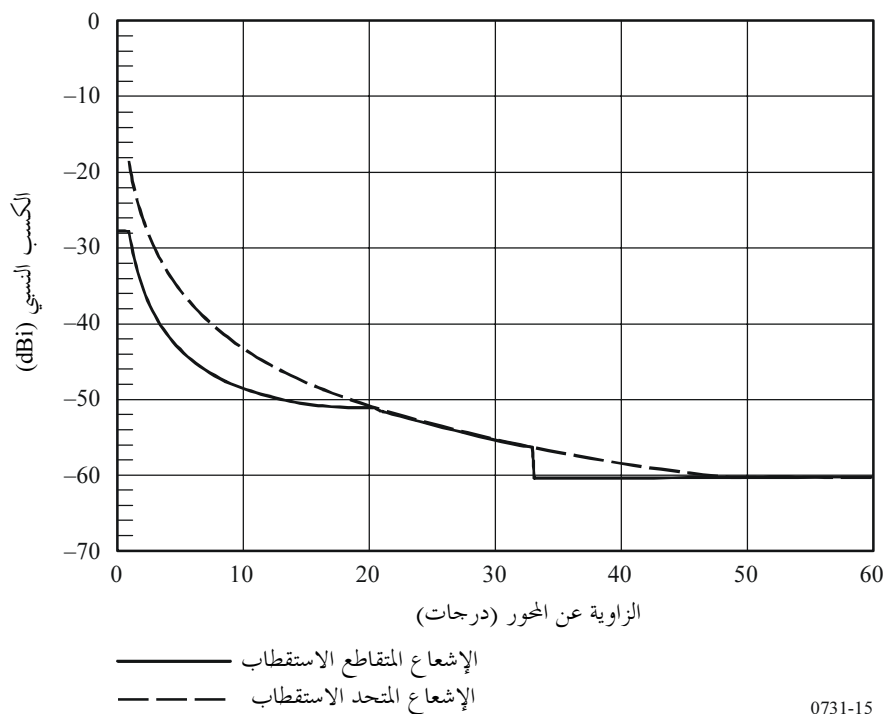
الشكل 14

هوائي قطره 3,5 m، التردد = GHz 12,625، المخطط المقيس للإشعاع المتقطع الاستقطاب



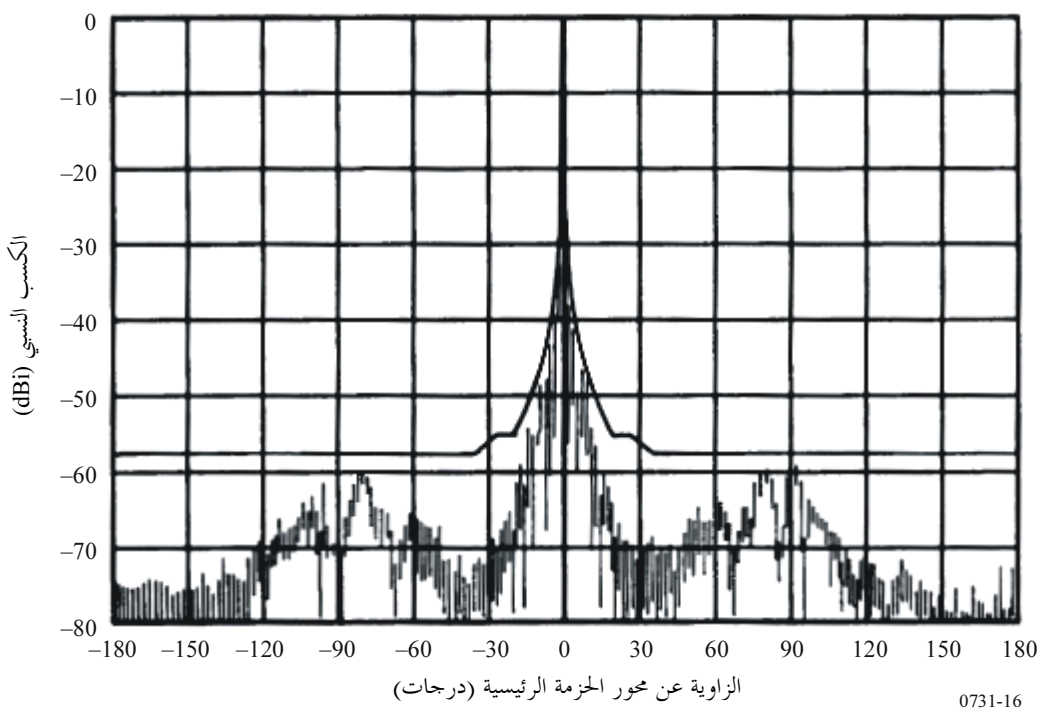
الشكل 15

هوائي قطره $3,7\text{ m}$, التردد $= 10,7\text{ GHz}$, المخططان المقيسان ذو الصلة للإشعاع
المتحدد الاستقطاب والمتقطع الاستقطاب



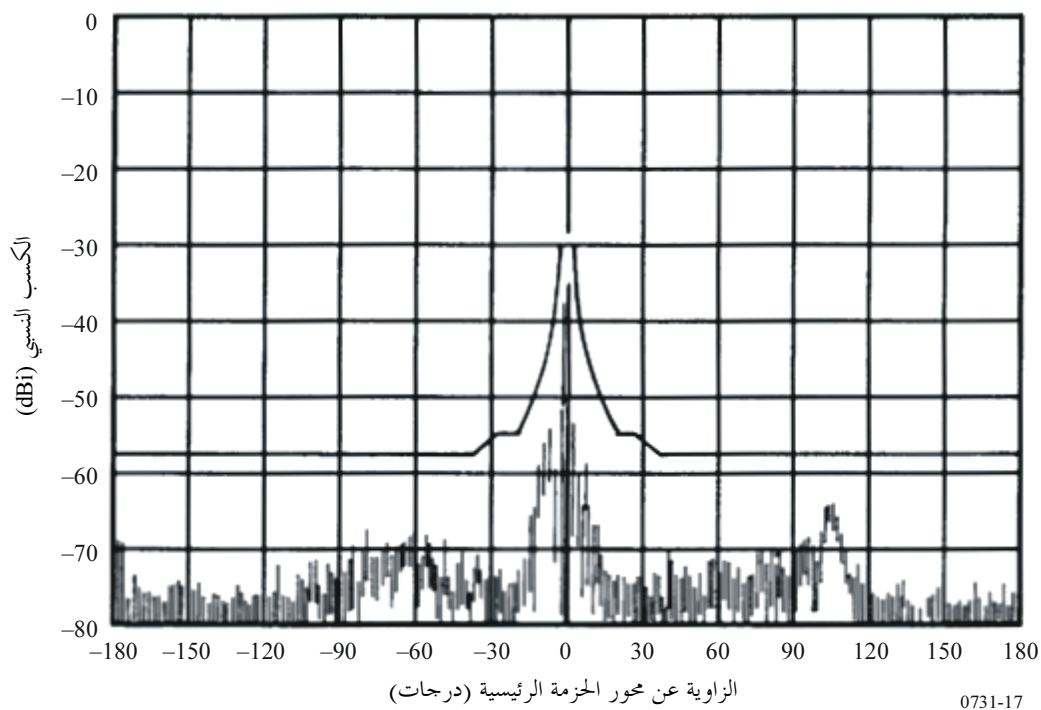
الشكل 16

هوائي قطره $3,7\text{ m}$, التردد $= 10,7\text{ GHz}$, المخطط المقيس ذو الصلة للإشعاع
المتحدد الاستقطاب



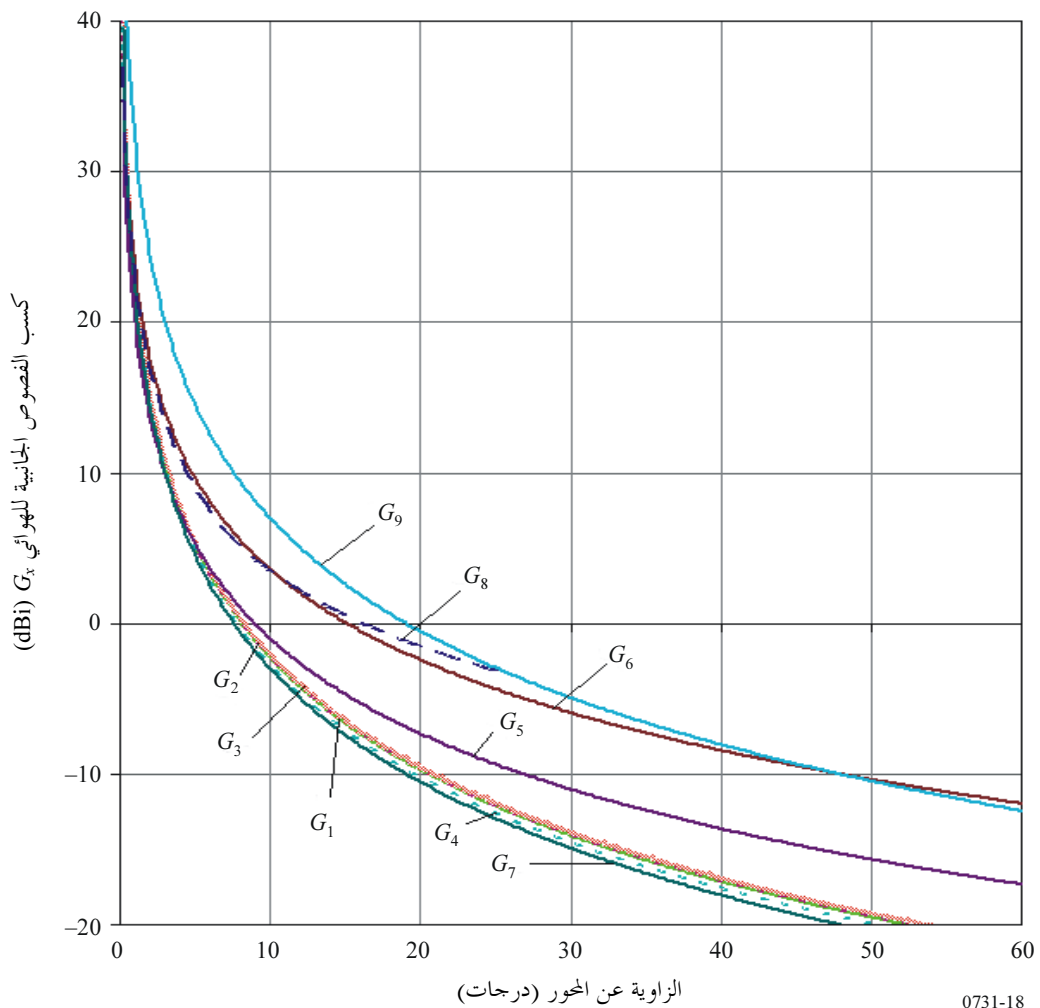
الشكل 17

هوائي قطره 3,7 m، التردد = 10,7 GHz، المخطط المقيس ذو الصلة للإشعاع المتقطع الاستقطاب



الشكل 18

مخطط الكسب المطلق للفصوص الجانبية للهواي المتقاطع الاستقطاب



$$D/\lambda = 25 \quad \text{من أجل}$$

$$G_1(\varphi) = 22,70 + 0,29\varphi - 25 \log \varphi$$

$$D/\lambda = 25 \quad \text{من أجل}$$

$$G_2(\varphi) = 22,69 + 0,37\varphi - 25 \log \varphi$$

$$D/\lambda = 75 \quad \text{من أجل}$$

$$G_3(\varphi) = 22,87 + 0,42\varphi - 25 \log \varphi$$

$$D/\lambda = 100 \quad \text{من أجل}$$

$$G_4(\varphi) = 22,15 + 0,47\varphi - 25 \log \varphi$$

$$G_5(\varphi) = 20,0 - 21 \log \varphi$$

$$G_6(\varphi) = 23,6 - 20 \log \varphi$$

$$G_7(\varphi) = 22,0 - 25 \log \varphi$$

$$\varphi_r \leq \varphi \leq 7^\circ \quad \text{من أجل}$$

$$G_8(\varphi) = 23,0 - 20 \log \varphi$$

$$7^\circ < \varphi \leq 26,3^\circ \quad \text{من أجل}$$

$$= 20,2 - 16,7 \log \varphi$$

$$26,3^\circ < \varphi \leq 48^\circ \quad \text{من أجل}$$

$$= 32,0 - 25 \log \varphi$$

$$G_9(\varphi) = 32 - 25 \log \varphi$$